

## 一个改进的 Skyrme 模型

沈齐兴 李炳安

(中国科学院高能物理研究所,北京)

### 摘 要

本文研究了一个  $m_\pi \neq 0$  时改进的 Skyrme 模型, 计算了核子的静态性质, 结果表明, 和原先 Skyrme 模型的预言<sup>[3]</sup>相比, 绝大部分数据有了改进, 特别是  $\langle r^2 \rangle_A^{1/2}$  的值增大了一倍, 为 0.56fm, 已接近实验值。

六十年代初, Skyrme 提出了  $SU(2) \times SU(2)$  手征对称的孤粒子理论<sup>[1]</sup>。在这个理论中, 基本场是玻色子场(例如  $\pi$  介子), 而重子被描述为激发的孤粒子。这个最简单的 Skyrme 模型的拉氏量为

$$\mathcal{L} = \frac{F_\pi^2}{16} \text{Tr} \partial_\mu U \partial^\mu U^\dagger + \frac{1}{32e^2} \text{Tr} [\partial_\mu U U^\dagger, \partial_\nu U U^\dagger]^2. \quad (1)$$

其中第二项是含有四次微商的项, 称为 Skyrme 项, 它的引入保证了理论有稳定的孤粒子解。

在文献[2]中, 作者利用拉氏量(1)讨论了核子的静态性质。但是, 得到的大部分的结果比实验值小得多, 特别是  $\pi$  介子衰变常数  $F_\pi$  和轴矢耦合常数  $g_A$ , 前者 and 实验值相差 30%, 后者只有实验值的一半。

在这个模型中,  $\pi$  介子的质量等于零。为了引入  $\pi$  介子的质量, 在文献[3]中增加了一项明显的手征对称破缺项

$$\mathcal{L}_1 = \frac{1}{8} m_\pi^2 F_\pi^2 (\text{Tr} U - 2). \quad (2)$$

但是, 由此出发计算得到的核子的静态性质没有多大改进<sup>[3,4]</sup>, 尤其是轴矢形状因子的均方半径  $\langle r^2 \rangle_A^{1/2}$  的值只有 0.28fm, 还不到实验值的一半。(所有的预言列于表 1 中)

在文献[5,6]中, 作者从唯象的角度出发, 抛弃了具有四次微商的 Skyrme 项, 而引入了具有六次微商的项, 即讨论了

$$\mathcal{L} = \frac{F_\pi^2}{16} \text{Tr} \partial_\mu U \partial^\mu U^\dagger - \frac{1}{96m^2} \text{Tr} \{ [\partial_\mu U U^\dagger, \partial^\nu U U^\dagger] [\partial_\nu U U^\dagger, \partial^\rho U U^\dagger] [\partial_\rho U U^\dagger, \partial^\mu U U^\dagger] \}. \quad (3)$$

的情况。六次微商项的引入同样能保证理论具有稳定的孤粒子解。在此基础上计算得到的核子的静态性质, 特别是  $F_\pi$  和  $g_A$  的值有了较大的改进<sup>[5,6]</sup>。

表 1

	本模型的预言	文献[3,4]的预言	实验值
$m_N(\text{MeV})$	939(输入)	939(输入)	939
$m_\Delta(\text{MeV})$	1232(输入)	1232(输入)	1232
$m_\pi(\text{MeV})$	138(输入)	138(输入)	138
$F_\pi(\text{MeV})$	130	108	186
$\langle r^2 \rangle_{I=0}^{1/2}(\text{fm})$	0.72	0.68	0.72
$\langle r^2 \rangle_{I=1}^{1/2}(\text{fm})$	1.04	1.04	0.88
$\langle r^2 \rangle_{M^2, I=0}^{1/2}(\text{fm})$	0.71	0.74	0.81
$\langle r^2 \rangle_{M^2, I=1}^{1/2}(\text{fm})$	0.80	0.80	0.80
$\langle r^2 \rangle_A^{1/2}(\text{fm})$	0.56	0.28	0.72
$\langle r^2 \rangle_S^{1/2}(\text{fm})$	0.72	0.80	
$\mu_p$	2.01	1.97	2.793
$\mu_n$	-1.20	-1.24	-1.913
$g_\Delta$	0.84	0.65	1.23
$g_{\pi NN}$	12.1	11.9	13.5
$g_{\pi N\Delta}$	18.1	17.8	20.3
$\mu_{N\Delta}$	2.27	2.3	3.3
$\sigma(\text{MeV})$	54	49	36±20

本文讨论一个  $m_\pi \approx 0$  的改进的 Skyrme 模型,其拉氏量为

$$\begin{aligned} \mathcal{L} = & \frac{F_\pi^2}{16} \text{Tr} \partial_\mu U \partial^\mu U^\dagger - \frac{1}{96m^2} \text{Tr} \{ [\partial_\mu U U^\dagger, \partial^\mu U U^\dagger] \\ & [\partial_\nu U U^\dagger, \partial^\nu U U^\dagger] [\partial_\rho U U^\dagger, \partial^\rho U U^\dagger] \} \\ & + \frac{1}{8} m_\pi^2 F_\pi^2 (\text{Tr} U - 2). \end{aligned} \quad (4)$$

这里  $U$  是如下形式的  $SU(2)$  矩阵: (本文将采用文献[3]和[4]中的符号)

$$\begin{aligned} U &= A(t) U_0(\mathbf{x}) A^\dagger(t), \\ U_0(\mathbf{x}) &= \exp\{iF(r)\hat{x} \cdot \boldsymbol{\tau}\}, \\ A(t) &= a_0(t) + i\boldsymbol{\alpha}(t) \cdot \boldsymbol{\tau}, a_0^2 + \boldsymbol{\alpha}^2 = 1. \end{aligned} \quad (5)$$

$\boldsymbol{\tau}$  是通常的泡里矩阵。其中  $F(r)$  满足边界条件:

$$F(0) = \pi, \quad F(\infty) = 0. \quad (6)$$

(4)式中的  $F_\pi$  和  $m$  是具有质量量纲的待定常数,后面我们将会看到,它们的数值可以由核子的质量  $m_N$  和重子  $\Delta$  的质量  $m_\Delta$  来确定。

将 Skyrme 的假定(5)代入拉氏量(4),我们可以得到孤粒子的质量

$$M = 4\pi \frac{F_\pi^{3/2}}{m^{1/2}} \left( M_1 + \frac{1}{4} \beta^2 M_2 \right). \quad (7)$$

其中

$$\begin{aligned} M_1 &= \int d\tilde{\tau} \left\{ \frac{1}{8} \tilde{r}^2 \left( F'^2 + \frac{2\sin^2 F}{\tilde{r}^2} \right) + \frac{1}{\tilde{r}^2} F'^2 \sin^4 F \right\}, \\ M_2 &= \int d\tilde{\tau} \tilde{r}^2 (1 - \cos F). \end{aligned} \quad (8)$$

无量纲变量  $\tilde{r} = \sqrt{mF_\pi} r$ ,  $F' = \frac{dF}{d\tilde{r}}$ ,  $\beta^2$  定义为

$$\beta^2 = \frac{m_\pi^2}{mF_\pi}. \quad (9)$$

由(7)式我们得到  $F(\tilde{r})$  满足的运动方程:

$$\left(\frac{\tilde{r}^2}{4} + \frac{2}{\tilde{r}^2} \sin^4 F\right) F'' + \left(\frac{\tilde{r}}{2} - \frac{4}{\tilde{r}^3} \sin^4 F\right) F' + \frac{2}{\tilde{r}^2} F'^2 \sin^2 F \sin 2F - \frac{1}{4} \sin 2F - \frac{1}{4} \beta^2 \tilde{r}^2 \sin F = 0. \quad (10)$$

利用边界条件(6),我们可以用计算机求解方程(10). 数值解得到的  $F(\tilde{r})$  的行为被表示在图1中.

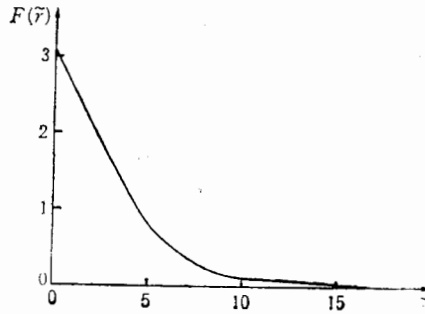


图 1

从拉氏量(4)我们得到

$$L = -M + \lambda \text{Tr}[\partial_0 A \partial_0 A^\dagger]. \quad (11)$$

其中  $M$  已给出在(7)式中,

$$\lambda = \frac{2\pi F_\pi^{1/2}}{3 m^{3/2}} \Lambda,$$

$$\Lambda = \int d\tilde{r} \tilde{r}^2 \sin^2 F \left(1 + 8F'^2 \frac{\sin^2 F}{\tilde{r}^2}\right). \quad (12)$$

利用文献[3]中采用的集体坐标和正则量子化方法,同样可以得到核子和重子  $\Delta$  的质量分别为

$$\begin{aligned} m_N &= M + \frac{3}{8\lambda}, \\ m_\Delta &= M + \frac{15}{8\lambda}. \end{aligned} \quad (13)$$

由此即可得到  $m$ ,  $F_\pi$  与  $m_N$ ,  $m_\Delta$  和  $m_\pi$  之间的关系式:

$$\begin{aligned} m^4 &= \frac{4\pi^2}{81} \frac{\Lambda^2}{M_1} (m_\Delta - m_N)^2 \\ &\times \left\{ \frac{1}{9} \Lambda (m_\Delta - m_N) (5m_N - m_\Delta) - m_\pi^2 M_2 \right\}, \end{aligned}$$

$$F_{\pi} = \frac{81m^3}{16\pi^2 A^2 (m_{\Delta} - m_N)^2} \quad (14)$$

其中  $M_1, M_2$  和  $A$  分别由(8)式和(12)式给出, 它们只依赖于方程(10)的解  $F(\tilde{r})$ . 所以, 有了  $F(\tilde{r})$  我们就可以输入物理质量  $m_N = 939\text{MeV}$ ,  $m_{\Delta} = 1232\text{MeV}$  和  $m_{\pi} = 138\text{MeV}$ , 由(14)式求出  $m$ ,  $F_{\pi}$  的值, 由(9)式求出  $\beta^2$  的值. 但方程(10)的求解依赖于唯一的参数  $\beta^2$  的值. 考虑到这种循环的依赖关系, 我们在求解方程(10)时, 用了多次迭代的方法. 图 1 中表出的  $F(\tilde{r})$  是多次迭代后的自洽的结果. 这时相应的参数取值如下:

$$\begin{aligned} m &= 1895\text{MeV}, \\ F_{\pi} &= 130\text{MeV}, \\ \beta &= 0.278. \end{aligned} \quad (15)$$

利用文献[4]中采用的规范变换的方法, 我们可以得到在这个模型中的矢量流和轴矢流分别为

$$\begin{aligned} V_{\mu}^a &= -\frac{i}{8} F_{\pi}^2 \text{Tr}\{\tau^a (U^{\dagger} \partial_{\mu} U + U \partial_{\mu} U^{\dagger})\} \\ &+ \frac{i}{32m^2} \text{Tr}\{\tau^a, \partial_{\nu} U U^{\dagger}\} [[\partial^{\nu} U U^{\dagger}, \partial_{\rho} U U^{\dagger}], [\partial^{\rho} U U^{\dagger}, \partial_{\mu} U U^{\dagger}]] \\ &+ [\tau^a, \partial_{\nu} U^{\dagger} U] [[\partial^{\nu} U^{\dagger} U, \partial_{\rho} U^{\dagger} U], [\partial^{\rho} U^{\dagger} U, \partial_{\mu} U^{\dagger} U]], \\ A_{\mu}^a &= \frac{iF_{\pi}^2}{8} \text{Tr}\{\tau^a (\partial_{\mu} U^{\dagger} U - \partial_{\mu} U U^{\dagger})\} \\ &+ \frac{i}{32m^2} \text{Tr}\{\tau^a, \partial_{\nu} U^{\dagger} U\} [[\partial^{\nu} U^{\dagger} U, \partial_{\rho} U^{\dagger} U], [\partial^{\rho} U^{\dagger} U, \partial_{\mu} U^{\dagger} U]] \\ &- [\tau^a, \partial_{\nu} U U^{\dagger}] [[\partial^{\nu} U U^{\dagger}, \partial_{\rho} U U^{\dagger}], [\partial^{\rho} U U^{\dagger}, \partial_{\mu} U U^{\dagger}]]. \end{aligned} \quad (16)$$

利用给出在文献[3]和[4]中的计算公式, 可以得到核子的同位旋标量均方半径

$$\langle r^2 \rangle_{I=0} = -\frac{2}{\pi} \frac{1}{m F_{\pi}} \int d\tilde{r} \tilde{r}^2 F' \sin^2 F. \quad (17)$$

同位旋矢量均方半径

$$\langle r^2 \rangle_{I=1} = \frac{1}{m F_{\pi}} \frac{1}{A} \int d\tilde{r} \tilde{r}^4 \sin^2 F \left\{ 1 + 8F'^2 \frac{\sin^2 F}{\tilde{r}^2} \right\}. \quad (18)$$

同位旋标量磁均方半径

$$\langle r^2 \rangle_{M,I=0} = \frac{3}{5} \frac{1}{m F_{\pi}} \int \frac{d\tilde{r} \tilde{r}^4 F' \sin^2 F}{d\tilde{r} \tilde{r}^2 F' \sin^2 F}. \quad (19)$$

和同位旋矢量磁均方半径

$$\langle r^2 \rangle_{M,I=1} = \frac{3}{5} \langle r^2 \rangle_{I=1}. \quad (20)$$

值得指出的是, 正如文献[4]中已证明的, 我们的公式(19)和(20)与文献[3]中相应的公式相差一个因子  $\frac{3}{5}$ .

类似于文献[4]中的证明,在目前这个模型中,轴矢耦合常数  $g_A$  可以表示成

$$g_A = -\frac{2\pi}{9}D \quad (\beta \neq 0 \text{ 时}). \quad (21)$$

其中

$$D = \frac{F_\pi}{m} \int d\tilde{r} \tilde{r}^2 \left\{ F' + \frac{\sin 2F}{\tilde{r}} + 8 \left( \frac{1}{\tilde{r}^3} F'^2 \sin^2 F \sin 2F + \frac{1}{\tilde{r}^4} F' \sin^4 F \right) \right\}. \quad (22)$$

$\pi$  介子-核子之间的相互作用常数  $g_{\pi NN}$  和  $g_A$  之间仍满足如下的 Goldberger-Treiman 关系:

$$g_{\pi NN} = \frac{2m_N}{F_\pi} g_A. \quad (23)$$

在文献[7]中给出的,由关系式

$$g_{\pi NN}(q^2) = g_{\pi NN} \left\{ 1 - \frac{1}{6} \langle r^2 \rangle_s q^2 + \dots \right\}.$$

定义的核子的强作用半径的均方值  $\langle r^2 \rangle_s$ , 现在可以表示成

$$\langle r^2 \rangle_s = \frac{3}{5} \frac{1}{\beta^2 m F_\pi} \left\{ \beta^2 \frac{\int d\tilde{r} \tilde{r}^5 \sin F}{\int d\tilde{r} \tilde{r}^3 \sin F} - 10 \right\}. \quad (24)$$

而在文献[4]中给出的,由关系式

$$g_A(q^2) = g_A \left\{ 1 - \frac{1}{6} \langle r^2 \rangle_A q^2 + \dots \right\}.$$

定义的核子的轴形状因子的均方半径的表达式是

$$\langle r^2 \rangle_A = \frac{3}{5m^2 D} \int d\tilde{r} \tilde{r}^4 \left\{ F' + \frac{2 \sin 2F}{\tilde{r}} + \frac{16}{\tilde{r}^3} F'^2 \sin^2 F \sin 2F + \frac{8}{\tilde{r}^4} F' \sin^4 F \right\}. \quad (25)$$

我们得到在这个模型中的同位旋标量  $g$  因子

$$g_{I=0} = -\frac{2m_N}{\pi^2} \frac{m^{1/2}}{F_\pi^{3/2}} \frac{1}{\Lambda} \int d\tilde{r} \tilde{r}^2 F' \sin^2 F. \quad (26)$$

同位旋矢量  $g$  因子

$$g_{I=1} = \frac{8\pi}{9} m_N \frac{F_\pi^{1/2}}{m^{3/2}} \Lambda. \quad (27)$$

(26)式和(27)式中的  $\Lambda$  由(12)式给出. 由此即可得到质子和中子的磁矩分别为

$$\begin{aligned} \mu_p &= \frac{1}{4} (g_{I=0} + g_{I=1}), \\ \mu_n &= \frac{1}{4} (g_{I=0} - g_{I=1}). \end{aligned} \quad (28)$$

最后,文献[3]中给出的  $\pi$  介子-核子的  $\sigma$  项在这个模型中可以写成

$$\sigma = \pi\beta^2 \frac{F_\pi^{3/2}}{m^{1/2}} \int d\tilde{r} \tilde{r}^2 (1 - \cos F). \quad (29)$$

上面给出的这些物理量的所有数值结果被列于表 1 中,和列在同一个表中的来自文献[3,4]的预言相比,大部分的数据都有不同程度的改进,尤其是  $F_\pi$ ,  $g_A$  和  $\langle r^2 \rangle_A$  这三个量,有了较大改进,特别是  $\langle r^2 \rangle_A^{1/2}$ , 本模型的预言比来自 Skyrme 模型<sup>[4]</sup>的预言增大了一倍,和实验值比较接近了。

本文讨论了  $m_\pi \neq 0$  的一个改进的 Skyrme 模型,在这个模型中去掉了 Skyrme 项,增加了一个包含六次微商项,计算结果表明,在  $m_\pi \neq 0$  的情况下,六次微商项同样能保证理论具有稳定的孤粒子解,而且在此基础上计算得到的核子的静态性质和包含 Skyrme 项的 Skyrme 模型的预言相比,绝大部分有了改进,特别是  $\langle r^2 \rangle_A^{1/2}$  的值,增大了一倍,已接近实验值。

本工作得到国家自然科学基金支持,项目编号 1860170.

### 参 考 文 献

- [1] T. H. R. Skyrme, *Proc. Roy. Soc.*, **A260**(1961), 127.
- [2] G. S. Adkins, C. R. Nappi, and E. Witten, *Nucl. Phys.*, **B228**(1983), 552.
- [3] G. S. Adkins and C. R. Nappi, *Nucl. Phys.*, **B233**(1984), 109.
- [4] Bing An Li and Qi Xing Shen, *Commun. in Theor. Phys.*, **6**(1986), 65.
- [5] 王 维, 中国科技大学硕士论文 (1986).
- [6] J. R. Wen and Tao Huang, BIHEP-TH-87-7.
- [7] 李炳安, 高能物理与核物理, **3**(1987), 426.

## A MODIFIED SKYRME MODEL

LI BINGAN SHEN QIXING

(Institute of High Energy Physics, Academia Sinica, Beijing)

### ABSTRACT

In this paper we study a modified skyrme model with  $m_\pi \neq 0$  and compute the static properties of nucleons in this model. The results show that most of theoretical values have been improved, especially  $\langle r^2 \rangle_A^{1/2} = 0.56 \text{ fm}$  is two times as one from the original Skyrme model and it is close to experimental value.